

01;05

КОМПЬЮТЕРНОЕ МОДЕЛИРОВАНИЕ ПРОФИЛЕЙ γ -ПОВЕРХНОСТЕЙ В СПЛАВАХ СО СВЕРХСТРУКТУРАМИ НА ОСНОВЕ ОЦК РЕШЕТКИ

*© Т.И.Новичихина, М.А.Баранов,
М.Д.Старостенков, В.В.Романенко*

Известно, что макроскопическое отражение физических и физико-механических свойств материалов во многом определяется состояниями, реализуемыми на атомных уровнях [1], наличием отклонений в кристаллической структуре упаковки от идеальной. Вследствие малости размеров дефектов в кристаллах прямое наблюдение их в колонне электронного микроскопа представляется технически сложной проблемой. В то же время приобретают достаточно широкое распространение методы моделирования дефектных зон в кристаллах, такие как построение энергетического профиля поверхности относительного сдвига частей кристалла (γ -поверхности) [2]. Профиль γ -поверхности представляет собой совокупность энергетических барьеров, препятствующих сдвигу, и потенциальных ям основных и промежуточных состояний, соответствующих дефекту. В металлах и регулярных твердых растворах промежуточные состояния соответствуют дефектам упаковки (ДУ), — как правило, продуктам реакций дислокационных превращений. Энергия образования дефекта, а также вектор сдвига (Бюргерса), формирующий его, во многом определяют пластическое поведение материала [3]. В упорядоченных сплавах на профиле γ -поверхности могут наблюдаться несколько минимумов, соответствующих различным плоским дефектам. В сверхструктурах принято различать следующие типы плоских дефектов: антифазная граница (АФГ) — дефект, получающийся в результате сдвига одной половины кристалла на вектор, соединяющий различные подрешетки сплава, — вектор антифазности; сверхструктурный дефект упаковки (СДУ) может быть получен сдвигом полукристалла на вектор, не являющийся вектором решетки, но приводящим кристалл в промежуточное метастабильное состояние; комплексный дефект упаковки (КДУ), который получается в результате сдвига полукристалла в другое промежуточное состояние. Векторы сдвига, соответствующие СДУ и КДУ, отличаются на вектор антифазности. То есть КДУ пони-

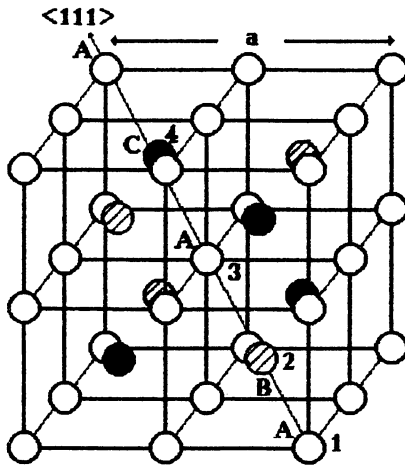


Рис. 1. Элементарная ячейка сверхструктуры L_{21} .

мается как наложение СДУ и АФГ. В сплавах на основе ОЦК решетки выделяются двухкомпонентные сверхструктуры B_2 (состава AB), DO_3 (состава AB_3) и трехкомпонентная L_{21} (состава A_2BC). Элементарная ячейка сверхструктуры L_{21} представлена на рис. 1. Сверхструктура DO_3 получается из L_{21} путем замены атомов сорта С на А, а B_2 путем замены С на В, что приводит к уменьшению вектора полной трансляции вдвое. АФГ в сверхструктуре B_2 характеризуются единственным возможным вектором сдвига $1/4\langle 111 \rangle$ (здесь и в дальнейшем модули векторов приводятся в параметрах решетки сверхструктуры L_{21}). Разрезы γ -поверхностей в сверхструктурах B_2 и DO_3 проанализированы в [4–6]. В настоящей работе проводится сравнительный анализ γ -профилей в упомянутых сверхструктурах на примере сплавов $NiAl$, Fe_3Al , Ni_2AlNb . Взаимодействия между атомами полагались парными, центральными и аппроксимировались функцией Морза.

Параметры потенциалов определялись на основе свойств металлов-компонентов, а также на основе свойств сплава. Экспериментально и теоретически доказано, что деформация в кристаллах на основе ОЦК решетки происходит путем так называемого карандашного скольжения в направлении $\langle -111 \rangle$ [3]. Поэтому представляет интерес изучение профиля γ -поверхности в плоскостях скольжения, принадлежащих именно к этой зоне — (110) , (211) , (321) ,

Для моделирования выбирался блок кристалла, состоящий из сорока плоскостей, и производился сдвиг одной из его половин на вектор $\alpha\langle -111 \rangle$, где $0 < \alpha < 1$. По две

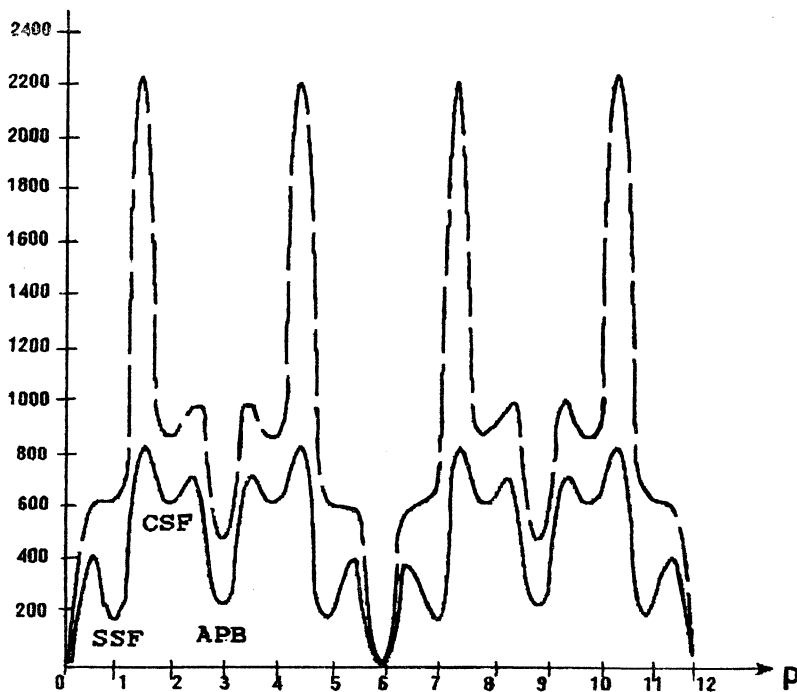


Рис. 2. Зависимость энергии образования дефекта, полученного сдвигом на вектор $P/12\langle -111 \rangle$ в плоскости (211) в сверхструктуре: а — B₂, б — DО₃, в — L₂₁. SSF — superstructure stacking fault — сверхструктурный дефект упаковки, CSF-complex stacking fault — комплексный дефект упаковки, APB-antiphase boundary — антифазная граница.

плоскости с каждого края блока закреплялись. Всем атомам, не принадлежащим закрепляемым плоскостям, представлялась возможность смещаться в направлении действующих на них сил вплоть до достижения блоком минимума внутренней энергии, которая определялась на каждом шаге релаксации. Наибольший же интерес представляют значения внутренней энергии, соответствующие стартовой конфигурации блока и его конечному состоянию.

На рис. 2 представлены профили γ -поверхностей в рассматриваемых сплавах в плоскости скольжения (211). Для наглядности γ -поверхности, соответствующие сверхструктуре B₂, представлены в удвоенном периоде. Состояние релаксированной решетки изображено сплошной линией, а стартовой конфигурации — пунктирной. Из рисунка вид-

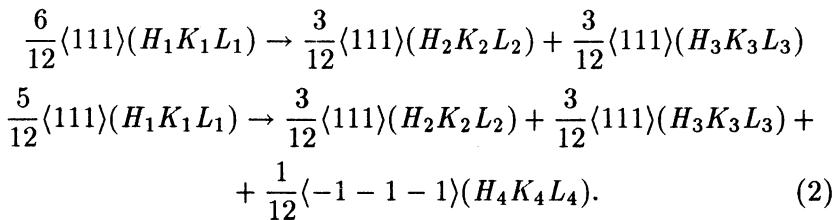
но, что в стартовом состоянии на γ -поверхности число максимумов, а следовательно, и минимумов не соответствует релаксированному состоянию. Поэтому в некоторых случаях можно прийти к ошибочному заключению о нестабильности дефекта, не проводя релаксации решетки, что, по-видимому, и было сделано в [3]. Например, в сверхструктуре B2 СДУ все же оказывается стабильным, несмотря на высокую стартовую энергию образования. В плоскостях (110) и (321), также принадлежащих к зоне $\langle -111 \rangle$, профили γ -поверхностей оказываются аналогичными вышеприведенным с небольшими количественными отличиями, что лишний раз доказывает реальность карандашного скольжения в таких сплавах. В плоскостях (110) и (211) атомы испытывают смещения в направлении нормали к плоскости и в одном из сдвиговых направлений. Для плоскости (110) таким является направление $\langle 001 \rangle$, а для (211) — $\langle 0 - 11 \rangle$. В плоскостях (321) оказывается невозможным указать единственное направление сдвига для всех атомов вблизи дефекта. Нормальные же смещения направлены преимущественно в сторону от дефекта. Причем их величина оказывается тем больше, чем выше энергия образования соответствующего дефекта. В сверхструктурах D_0_3 и L_2_1 вектором симметричного сдвига вдоль направления диагонали куба является вектор $1/2\langle 111 \rangle$, за исключением векторов полной трансляции. По симметрии рассматриваемых сверхструктур можно прийти к выводу, что в B2 возможно образование двух различных ДУ в каждой из плоскостей зоны $\langle 111 \rangle$. Один из них — СДУ соответствует сдвигу на $1/12\langle 111 \rangle$, а другой — КДУ — сдвигу на $2/12\langle 111 \rangle$. Это отражено на графике (рис. 2). В сверхструктурах D_0_3 и L_2_1 возможно образование до четырех типов ДУ в каждой из плоскостей зоны $\langle 111 \rangle$. Энергии образования СДУ и АФГ во всех рассматриваемых сверхструктурах соответствуют примерно 200 мДж/м^2 . Энергия же образования КДУ в B2 составляет более 600 мДж/м^2 , что, в принципе должно приводить к нестабильности этого дефекта и его распаду на СДУ и АФГ, например, путем дислокационной реакции

$$\frac{2}{12}\langle 111 \rangle(H_1K_1L_1) \rightarrow \frac{3}{12}\langle 111 \rangle(H_2K_2L_2) + \frac{1}{12}\langle -1-1-1 \rangle(H_3K_3L_3), \quad (1)$$

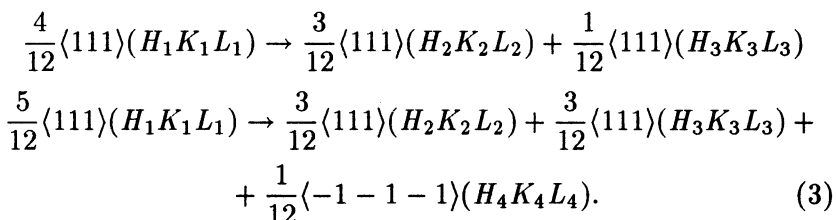
где $H_iK_iL_i$ — индексы Миллера плоскостей зоны $\langle 111 \rangle$.

Несколько иная ситуация в сплаве Fe_3Al со сверхструктурой D_0_3 . Здесь КДУ с вектором сдвига $4/12\langle 111 \rangle$ не соответствует какой-либо минимум на профиле γ -поверхности. А энергия образования КДУ с вектором сдвига $5/12\langle 111 \rangle$ в несколько раз превышает энергию первой АФГ. Кроме

того, энергия АФГ_{II} более чем вдвое выше энергии образования АФГ_I. Поэтому здесь возможны следующие дислокационные реакции:



В модельном сплаве Ni₂AlNb сверхструктуры L₂₁ мало-вероятно образование КДУП и КДУП. Поэтому возможно расщепление таких ДУ путем дислокационных реакций



В других плоскостях зоны ⟨111⟩ профили γ-поверхностей оказываются аналогичными вышеприведенным с небольшими количественными отличиями, что лишний раз доказывает реальность карандашного скольжения в таких сплавах. С помощью профиля γ-поверхности выявлены все возможные сдвиговые ДУ. Стабильность дефекта определяется в результате приведения кристалла в равновесное состояние путем релаксации решетки. Полученные профили γ-поверхностей подтверждают реальность карандашного скольжения.

Список литературы

- [1] Хирт Дж., Лотте И. Теория дислокаций. М.: Атомиздат, 1992. 600 с.
- [2] Yamaguchi M., Umakoshi V. // Elsevier. 1984. V. 147. P. 131.
- [3] Paidar V., Lejcek L. // Elsevier. 1984. V. 147. 463 p.
- [4] Баранов М.А., Романенко В.В. // МежВУЗ. сборн., Барнаул: АлТИ, 1990. С. 72–77.
- [5] Старostenков М.Д., Романенко В.В., Баранов М.А. // Письма в ЖТФ. 1991. Т. 17. В. 19. С. 69–73.
- [6] Старostenков М.Д., Романенко В.В. // Изв. вузов. Черная металлургия. 1993. № 6. С. 46–48.